



Отражающий фактор P_d	0,91
----------------------------	-------------

Температура трансформации T_g [°C]	465
---	------------

Относительная твёрдость по сошлифованию H_s	0,86
--	-------------

Плотность ρ [г/см ³]	2,73
--	-------------

Тепловое расширение α [20-300 °C]×10 ⁻⁶ К ⁻¹	10
--	-----------

ИЗЮМСКИЙ
ПРИБОРОСТРОИТЕЛЬНЫЙ
ЗАВОД
государственное предприятие



Показатель преломления

Линия спектра	F	e	d	D	C
λ , нм	486,13	546,07	587,56	589,29	656,27
Элемент	H	Hg	He	Na	H
n				1,5330	

Положение полосы пропускания

d, мм	$\lambda_{ср,2}$ нм	$\Delta\lambda_{0,5}$ нм	τ_{max}
1,00			
2,00			
3,00			
4,00			
5,00			
6,00			

Границы пропускания, λ_c нм ($\tau=0,5$)

d, мм	Коротковол.	Длинноволн.
1	872	
2	921	
3	950	
4	972	
5	989	
10	1044	

Координаты цветности

	d, мм	x	y	Y, %	λ_d , нм	P_c
A 2856 [K]	1,00					
	2,00					
	3,00					
	5,00					
3200 [K]	1,00					
	2,00					
	3,00					
D ₆₅	1,00					
	2,00					
	3,00					
	5,00					

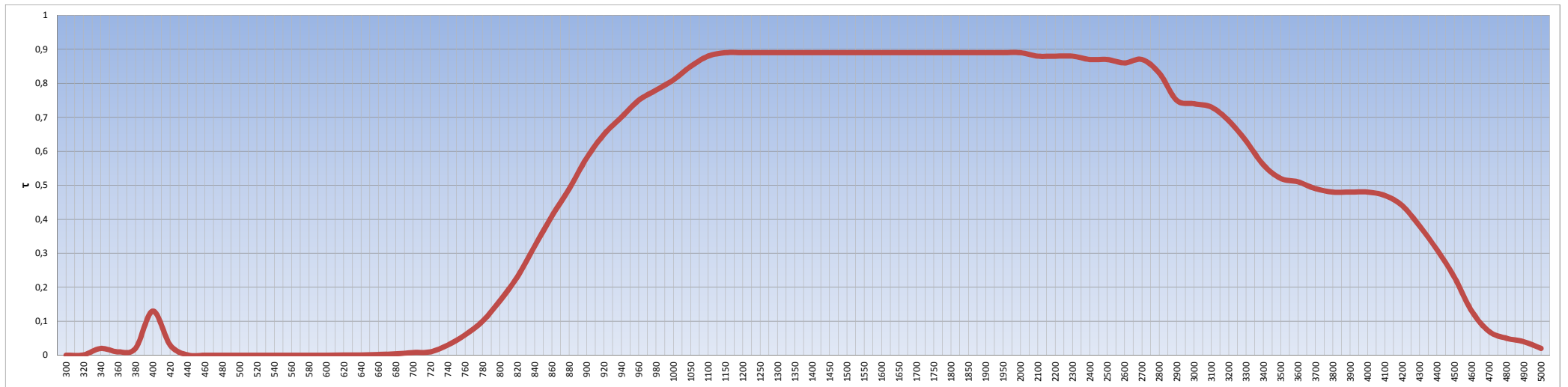
Предельное значение для τ_i при толщине образца 1 мм		
Длина волн, нм	Предельное значение	Значение по каталогу
400	≤0,21	0,14
700	≥0,02	0,009
800	0,25-0,13	0,18
1100	≥0,95	0,96

Коэффициент пропускания $[\tau]$ и коэффициент внутреннего пропускания $[\tau_i]$

Для светофильтра толщиной 1 мм

λ , нм	300	320	340	360	380	400	420	440	460	480	500	520	540	560	580	600	620	640	660	680	700	720	740	760	780	800	820	840	860	880	900
τ	0,00001	0,001	0,02	0,01	0,02	0,13	0,03	0,0008	0,00001	0,00001	0,00001	0,00001	0,00001	0,00001	0,00001	0,0002	0,0004	0,001	0,002	0,004	0,008	0,01	0,03	0,06	0,10	0,16	0,23	0,32	0,41	0,49	0,58
τ_i	0,00001	0,001	0,02	0,01	0,03	0,14	0,03	0,0007	0,00001	0,00001	0,00001	0,00001	0,00001	0,00001	0,00001	0,0002	0,0005	0,001	0,002	0,004	0,009	0,01	0,03	0,06	0,11	0,18	0,25	0,35	0,45	0,54	0,63
λ , нм	920	940	960	980	1000	1050	1100	1150	1200	1250	1300	1350	1400	1450	1500	1550	1600	1650	1700	1750	1800	1850	1900	1950	2000	2100	2200	2300	2400	2500	2600
τ	0,65	0,70	0,75	0,78	0,81	0,85	0,88	0,89	0,89	0,89	0,89	0,89	0,89	0,89	0,89	0,89	0,89	0,89	0,89	0,89	0,89	0,89	0,89	0,89	0,89	0,88	0,88	0,88	0,87	0,87	0,86
τ_i	0,71	0,77	0,82	0,86	0,89	0,94	0,96	0,97	0,98	0,98	0,98	0,98	0,98	0,98	0,98	0,98	0,98	0,98	0,98	0,98	0,98	0,97	0,97	0,97	0,97	0,97	0,96	0,96	0,95	0,95	
λ , нм	2700	2800	2900	3000	3100	3200	3300	3400	3500	3600	3700	3800	3900	4000	4100	4200	4300	4400	4500	4600	4700	4800	4900	5000							
τ	0,87	0,83	0,75	0,74	0,73	0,69	0,63	0,56	0,52	0,51	0,49	0,48	0,48	0,48	0,47	0,44	0,38	0,31	0,23	0,13	0,07	0,05	0,04	0,02							
τ_i	0,94	0,91	0,82	0,81	0,80	0,76	0,69	0,62	0,57	0,56	0,54	0,52	0,52	0,52	0,51	0,48	0,42	0,34	0,25	0,14	0,08	0,06	0,04	0,02							

График хода спектральной кривой пропускания $[\tau]$ для светофильтра толщиной 1 мм



Примечание: Справочные данные по положению коротковолновой границы пропускания приведены в соответствии с каталогом